Vol. 28 No. 6 Dec. 2013

# 堇青石载体上 TS-1 晶体的生长控制与机理

祝尊路,杨立斌,沙作良 (天津市海洋资源与化学重点实验室,天津科技大学海洋科学与工程学院,天津 300457)

摘 要:以四丙基氢氧化铵(TPAOH)为模板剂,正硅酸乙酯(TEOS)为硅源,钛酸四丁酯(TBOT)为钛源,采用水热合成结晶法在堇青石载体上结晶生长 TS-1 晶体.实验考察了在 175 ℃、结晶时间 3 d 的条件下,不同水与硅源比例(硅源质量分数)、模板剂质量分数对 TS-1 晶体在堇青石载体上生长及其粒径的影响;同时通过 SEM、ATR-FTIR、XRD 表征手段分析 TS-1 晶体颗粒在堇青石载体上生长机理. 结果表明, TS-1 合成前驱液中硅源和模板剂质量分数直接影响 TS-1 晶体在堇青石载体上结晶过程中的骨架胶团浓度和过饱和度,通过控制过饱和度可以调控堇青石载体上 TS-1 纳米晶体颗粒的大小.

关键词: 钛硅分子筛-1; 水热合成; 堇青石载体; 晶体生长; 纳米晶体

中图分类号: O643 文献标志码: A 文章编号: 1672-6510(2013)06-0036-04

# Controlled Growth and Mechanism of TS-1 Crystal on Corderite Support

ZHU Zunlu, YANG Libin, SHA Zuoliang

(Tianjin Key Laboratory of Marine Resources and Chemistry, College of Marine Science and Engineering, Tianjin University of Science & Technology, Tianjin 300457, China)

**Abstract:** Titanium silicalite-1 (TS-1) membranes were prepared to grow on cordierite support under hydrothermal treatment, using TPAOH as template, TEOS as silicate source, and TBOT as titanium source. The effect of ratios of Si/H<sub>2</sub>O and concentrations of structure-directing agent (SDA) synthesized at 175  $^{\circ}$ C for 72 h was studied throughout experiments. TS-1 nanocrystal growing on cordierite support was analyzed with scanning electron microscope (SEM) , X-ray diffractometer (XRD) and ATR-FTIR. The result indicates that the mechanism of TS-1 growth on cordierite support is that the concentration of skeleton micelle and supersaturation of TS-1 precursor in the process of hydrothermal crystallization directly control the growth of TS-1 nanocrystal on the cordierite support.

Key words: TS-1; hydrothermal synthesis; cordierite support; crystal growth; nanocrystal

自钛硅分子筛-1 (TS-1)于 20 世纪 80 年代首次由 Taramasso 等<sup>[1]</sup>合成出以来,由于其在温和反应条件下能对包括苯和苯酚的羟基化、烯烃的环氧化、环己酮的肟化、胺及饱和烷烃的氧化在内的许多有机反应有着良好的催化氧化性能,越来越受到研究者的青睐,尤其是其以 H<sub>2</sub>O<sub>2</sub> 为氧化剂,不会造成环境污染,成为绿色化工的典范. TS-1 晶体颗粒的大小决定着其在反应中的催化活性,即 TS-1 晶体尺寸为纳米级别(小于 0.3 微米),在氧化反应中如苯酚羟化反应就

会有很高的活性;若 TS-1 晶体的尺寸大于 1.0 微米, 其活性就大大降低<sup>[2]</sup>,这是由于纳米级分子筛具有较小的晶体尺寸和较高的比表面积,有利于反应物分子在分子筛内部的扩散与传输,在催化反应中纳米分子筛体现出高催化活性与较长的使用寿命<sup>[3]</sup>. 然而,超细纳米级 TS-1 晶体在化工生产使用过程中带来难以分离的问题,这会增加生产成本,也会造成部分催化剂在分离过程中的流失. 因此,将 TS-1 纳米晶体固定在多孔材料载体上,既可以解决难分离问题又可以 形成沸石分子筛膜,从而具有优异的化工分离作用<sup>[4]</sup>. 多孔载体如蜂窝堇青石多孔载体(2MgO·2Al<sub>2</sub>O<sub>3</sub>·5SiO<sub>2</sub>) 具有良好的机械强度和热稳定性,在化工行业中广泛应用<sup>[5]</sup>. 将 TS-1 纳米晶体分子筛负载到整体式载体上已经成为研究的热点,很多研究者对整体式 TS-1晶体制备<sup>[6]</sup>、热稳定性<sup>[7]</sup>及催化反应<sup>[8]</sup>进行深入的研究;TS-1 在堇青石载体上结晶生长时,通过调节实验条件可以得到不同晶形<sup>[9]</sup>,但很少有文献系统研究堇青石载体上 TS-1 纳米晶体粒度大小的生长控制.

本文通过实验研究 TS-1 合成前驱液不同硅源浓度及模板剂质量分数对 TS-1 晶体在堇青石多孔载体上生长大小的影响,并通过 SEM、XRD、ATR-FTIR 表征手段分析整体式堇青石载体上 TS-1 纳米晶体生长情况,分析其结晶成核生长机理.

# 1 材料与方法

#### 1.1 材料

蜂窝堇青石, Φ40 mm×90 mm, 孔密度 (cpsi) 200, 江西省江阴华音陶瓷机电科技有限公司; 四丙基氢氧化铵 (TPAOH), 质量分数 25%, 上海才锐化工有限公司; 正硅酸乙酯 (TEOS)、钛酸四丁酯 (TBOT), 分析纯, 阿拉丁公司; 异丙醇 (IPA), 分析纯, 天津光复精细化工研究所; 超纯水, 实验室自制.

#### 1.2 堇青石载体上水热合成整体式 TS-1晶体

在 4 ℃低温水浴下,将一定量的模板剂和水在三口烧瓶中搅拌混合 30 min,将 TEOS 用蠕动泵逐滴滴加到三口烧瓶中,滴加过程保持快速搅拌,滴完后继续搅拌 1 h. 将超声混合 10 min 的 TBOT 和 IPA混合液用蠕动泵逐滴滴加到上述溶液中,同时快速搅拌,滴加完毕后搅拌 2 h;将上述溶液在 85 ℃的水浴中搅拌 5 h,以除去水解产生的乙醇、丁醇和添加的异丙醇;除醇过程中,每 0.5 h 补充适量超纯水以保证配制浓度,最终形成合成液组成为 n (TEOS):n (TBOT):n (TPAOH):n (H2O) = 1:0.04:0.3:x (x = 25、50、100、200);除醇完毕后,将得到 TS-1 前驱液和堇青石载体一起放入晶化釜中,再将晶化釜放入烘箱内,在 175 ℃下晶化 3 d;晶化结束时,用超纯水冲洗堇青石,在 110 ℃下干燥 12 h 后,在 550 ℃下焙烧 5 h,升温/降温速率为 1 ℃/min.

#### 1.3 表征

采用日本日立公司 Hitachi1510 型扫描电子显微镜对 TS-1 晶体进行观察;采用北京普析公司的 XD-2 型 X 射线衍射仪对 TS-1 晶体进行检测, Cu 靶

 $K\alpha$  射线, 管电压 36 kV, 管电流 20 mA; 采用日本热电科技公司的 Nicolet 6700 型衰减全反射傅里叶红外光谱仪对 TS-1 晶体的骨架及组成进行检测, 分辨率为 4 cm<sup>-1</sup>, 扫描范围 600~4 000 cm<sup>-1</sup>.

## 2 结果与讨论

### 2.1 整体式载体上 TS-1 晶体的生长分析

不同硅源质量分数下制备的整体式 TS-1 晶体的 SEM 图片如图 1 所示.

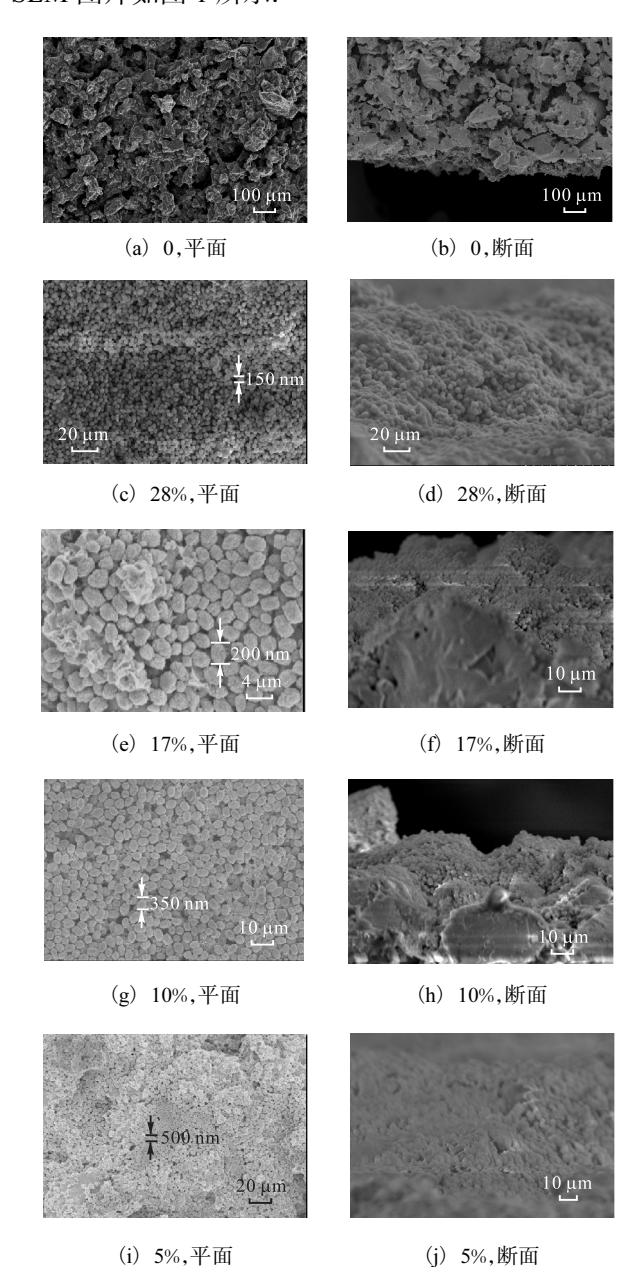


图 1 不同硅源质量分数下制备的整体式 TS-1晶体 SEM 图片

Fig. 1 SEM images of monolithic TS-1 crystals synthesized with different concentrations of Si

由 2MgO·2Al<sub>2</sub>O<sub>3</sub>·5SiO<sub>2</sub> 组成的蜂窝状整体式堇 青石载体是晶体多孔材料(图 1(a)). 从图 1(c)、 (e)、(g)、(i)可以看出, TS-1 合成前驱液硅源质量分 数由 28%减少为 5%过程中, 堇青石载体上 TS-1 纳米 晶体颗粒由 150 nm 增大为 500 nm. 另外, 随着硅源 质量分数增加, 在图 2 的 XRD 图谱的 7.9°、8.8°、 23.1°、23.8°、24.4°处均出现了 TS-1 特征衍射峰[10], 可见 TS-1 晶体骨架并没有发生变化. 在水热条件 下,在整体式堇青石载体上结晶的 TS-1 晶体具有与 粉末型 TS-1 晶体相同的拓扑结构. 从图 3 的 ATR-FTIR 谱图可以看出,在 800、960、1 100、1 220 cm<sup>-1</sup> 处有明显的特征吸收峰,表明制备的 TS-1 晶体具有 典型的 MFI 特征. 其中: 1 220 cm-1 特征峰是沸石网 格中 Si-O 或 Ti-O 四面体单元的反对称伸缩振 动: 960 cm<sup>-1</sup> 的特征峰为钛原子存在下结构中 Si— OH 基团的缺陷振动,即 Ti 原子的[TiO4]四面体的伸 展振动, 也就成为 Ti—O 的指纹峰[11-12].

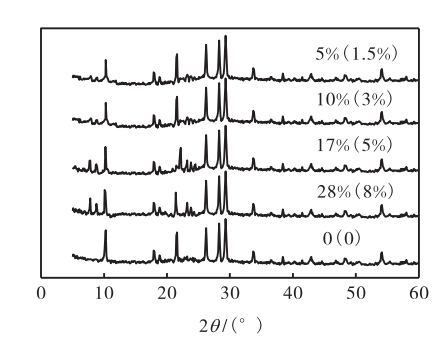


图 2 不同硅源质量分数(模板剂质量分数)下制备的整体式 TS-1 晶体 XRD 图谱

Fig. 2 XRD patterns of monolithic TS-1 crystals synthesized with different concentrations of Si

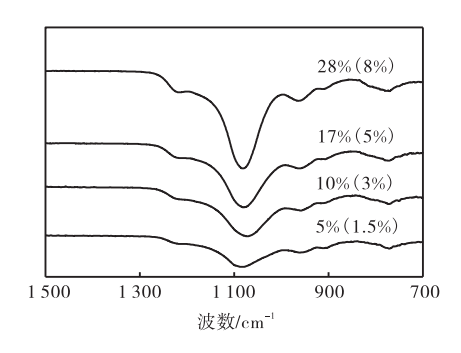


图 3 不同硅源质量分数(模板剂质量分数)下制备的整体式 TS-1 晶体 ATR-FTIR 谱图

Fig. 3 ATR-FTIR spectra of monolithic TS-1 crystals synthesized with different concentrations of Si

另外,图 3 中 TS-1 晶体的 MFI 拓扑结构特征指 纹峰也没有发生明显变化,由此可见不同水硅比(硅 源质量分数)对合成的整体式 TS-1 晶体分子结构没有影响. 由于水硅比(硅源质量分数)影响 TS-1 前驱液的过饱和度,而过饱和度是影响晶体生长的主要因素,故通过控制过饱和度可以调控堇青石载体上 TS-1 纳米晶体颗粒的大小.

#### 2.2 整体式 TS-1晶体形成机理

TS-1 前驱液浓度(硅源质量分数)高时,相同条件下 TS-1 纳米晶体结晶时产生的过饱和度较大,成核速率远远大于成长速率,堇青石整体载体上晶体颗粒偏小;当前驱液硅源质量分数低时,产生的过饱和度较小,TS-1 纳米晶体生长速率相对优势加强,有利于 TS-1 晶体的生长;然而随着结晶时间的延长,前驱液中营养组分或溶质即 TS-1 前驱体浓度降低接近于平衡状态,过饱和度逐渐降低,TS-1 晶体的成核速率和生长速率都减小.

同时,合成前驱液模板剂质量分数由 8%减少为 1.5%,即改变了溶液中营养组分或溶质 TS-1 前驱体的胶团浓度,胶团浓度大小直接影响晶核聚集程度.整体式堇青石载体上 TS-1 纳米晶体结晶生长机理如图 4 所示.

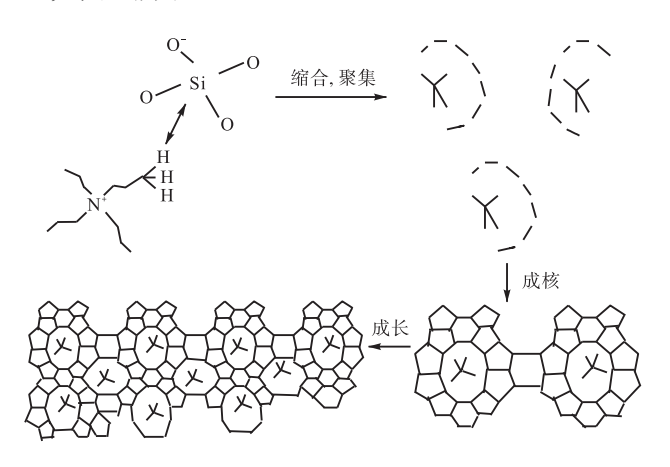


图 4 整体式堇青石载体上 TS-1纳米晶体结晶生长机理 示意图

Fig. 4 Schema of the growing mechanism of TS-1 nanocrystal on monolithic cordierite support

模板剂 TPAOH 的丙基基团具有疏水亲油性,而—N<sup>+</sup>具有亲水性,在水解反应时,硅源、钛源水解产生的硅酸根、钛酸根,部分或完全取代 TPAOH 周围的水分子形成有机—无机复合结构单元<sup>[13–14]</sup>,这种有机—无机单元通过聚集形成晶核.由于静电和范德华力的作用,晶核沉积在堇青石载体的内表面.当硅源质量分数变化时,前驱液里模板剂质量分数也变化,相应的胶团浓度不同,形成的晶核数量也不同,相同水热条件下所产生的过饱和度不同,从而影响

TS-1 纳米晶体的成核和成长,最终影响颗粒的大小.在用水量与硅源物质的量比值(水硅比)由低到高时,前驱液的过饱和度从大到小,促使整体式 TS-1 晶体的粒径从粒度较小到较大. 前驱液硅源质量分数和模板剂质量分数高时,TS-1 纳米晶体结晶成核速率远远大于成长速率,堇青石整体载体上晶体颗粒偏小;前驱液硅源质量分数和模板剂质量分数低时,TS-1 纳米晶体结晶成核速率远远小于成长速率,堇青石整体载体上晶体颗粒偏大.

# 3 结 论

在水热条件下,在整体式堇青石载体上合成结晶 TS-1 纳米晶体,通过改变中水与硅源物质的量比值 (水硅比)控制 TS-1 晶体的粒度;降低硅源质量分 数,即增大结晶时的过饱和度,有利于 TS-1 晶体 生长.

推测出 TS-1 纳米晶体在整体式堇青石载体上结晶生长机理为 TS-1 前驱体在模板剂 TPAOH 的表面活性及结构导向作用下,增浓聚集后,成核生长;而合成前驱液中 TS-1 前驱体骨架胶团浓度和过饱和度,是控制 TS-1 纳米晶体生长的关键因素.

# 参考文献:

- [1] Taramasso M, Perego G, Notari B. Preparation of porous crystalline synthetic material comprised of silicon and titanium oxides: US, 4410501 [P]. 1983–10–18.
- [2] Van der Pol A J H P, Verduyn A J, Van Hooff J H C. Why are some titanium silicalite-1 samples active and others not? [J]. Applied Catalysis A: General, 1992, 92(2): 113–130.
- [3] Wang X, Guo X, Wang L. Quick synthesis of nano-scale TS-1 and its catalytic properties[J]. Studies in Surface Science and Catalysis, 2004, 154: 2589–2595.
- [4] Motuzas J, Mikutaviciute R, Gerardin E, et al. Controlled growth of thin and uniform TS-1 membranes by MW-assisted heating [J]. Microporous and Mesoporous Mate-

- rials, 2010, 128 (1/2/3): 136-143.
- [5] Fuji M, Shiroki Y, Menchavez R L, et al. Fabrication of cordierite filter by in-situ solidification for high temperature dust collection[J]. Powder Technology, 2007, 172(1):57-62.
- [6] Guan N, Han Y S. Monolithic TS-1/cordierite catalyst synthesized by in-situ method[J]. The Chemical Society of Japan, 2000, 29 (9): 1084–1085.
- [7] Han Y S, Zeng H S, Guan N J. Thermal and hydrothermal stability of monolithic TS-1/cordierite catalyst [J]. Catalysis Communications, 2002, 3 (6): 221–225.
- [8] Au L T Y, Chau J L H, Ariso C T, et al. Preparation of supported Sil-1, TS-1 and VS-1 membranes: Effects of Ti and V metal ions on the membrane synthesis and permeation properties [J]. Journal of Membrane Science, 2001, 183 (2): 269–291.
- [9] Liu Y, Zong L, Xin F. Hydrothermal synthesis of TS-1 film with mixed templates on cordierite support[J]. Materials Research Innovations, 2008, 12 (2): 21–25.
- [ 10 ] Lai Z, Bonilla G, Diaz I, et al. Microstructural optimization of a zeolite membrane for organic vapor separation [J]. Science, 2003, 300 (5618): 456–460.
- [11] Thangaraj A, Eapen M J, Sivasanker S, et al. Studies on the synthesis of titanium silicalite, TS-1[J]. Zeolites, 1992, 12(8): 943–950.
- [ 12 ] Thangaraj A, Kumar R, Mirajkar S P, et al. Catalytic properties of crystalline titanium silicalites I: Synthesis and characterization of titanium-rich zeolites with MFI structure[J]. Journal of Catalysis, 1991, 130(1):1–8.
- [ 13 ] Burkett S L, Davis M E. Mechanisms of structure direction in the synthesis of pure-silica zeolites. 1. Synthesis of TPA/Si-ZSM-5[J]. Chemistry of Materials, 1995, 7(5):920–928.
- [ 14 ] Burkett S L, Davis M E. Mechanism of structure direction in the synthesis of pure-silica zeolites. 2. Hydrophobic hydration and structural specificity[J]. Chemistry of Materials, 1995, 7(8):1453–1463.

责任编辑: 周建军